

М.В.Защелина. Х.С.Хазанов

**УСТОЙЧИВОСТЬ ЦИЛИНДРИЧЕСКОЙ ОБОЛОЧКИ С КРУГЛЫМ
ВЫРЕЗОМ НА БОКОВОЙ ПОВЕРХНОСТИ**

Вопрос устойчивости цилиндрических оболочек с отверстием рассматривается в ряде работ [1-3]. В основном, это экспериментальные исследования. Настоящая статья посвящена теоретическому исследованию устойчивости цилиндрической оболочки с круглым вырезом. Задача решается с позиций геометрически нелинейной теории пологой оболочки. Размеры выреза характеризуются безразмерным параметром

$$\omega = \frac{1}{2} \sqrt[4]{3(1-\mu^2)} \frac{r_0}{\sqrt{Rh}}$$

где R , h - радиус срединной поверхности и толщина оболочки; r_0 - радиус выреза; μ - коэффициент Пуассона.

При расчете оболочек с учетом геометрической нелинейности, ввиду большой сложности задачи, широкое распространение получили приближенные методы и, в частности, методы, основанные на использовании вариационных принципов. Поскольку при расчете оболочек с отверстиями имеется определенная специфика, то для решения задачи будем пользоваться вариационными уравнениями, полученными в [4] применительно к рассматриваемому классу задач в полярных на развертке цилиндра координатах (r, θ).

Нормальные перемещения w , перемещения в срединной поверхности u , v и функция напряжений Φ представляются в виде суммы двух слагаемых:

$$u = u^0 + u_1; \quad v = v^0 + v_1; \quad w = w^0 + w_1; \quad \Phi = \Phi^0 + \Phi_1$$

Первые слагаемые, отмеченные индексом "0", соответствуют решению задачи в линейной постановке и могут быть найдены с использованием методики, изложенной в [5]. К ним добавляются величины (назовём их дополнительными), обусловленные геометрической нелинейностью. Учитывая локальность возмущений, вносимых вырезом, полагаем, что на некотором расстоянии от его края дополнительные перемещения и функция напряжений стремятся к нулю.

С введением безразмерных величин

$$x = \omega \frac{r}{r_0}, \quad \bar{\Phi} = \frac{E}{R\sigma_0} \Phi, \quad \bar{u} = \frac{E}{R\sigma_0} u, \quad \bar{v} = \frac{E}{R\sigma_0} v, \quad \bar{w} = \frac{E}{R\sigma_0} w,$$

вариационные уравнения работы [4] для оболочки с неподкрепленным вырезом могут быть приведены к виду:

$$\int_{\omega_0}^{\omega} \int_0^{2\pi} \left[\nabla^2 \nabla^2 \bar{w} - 8\mathcal{L}(\bar{\Phi}) + \frac{6B\lambda\sigma_0}{E} \mathcal{L}_1(\bar{\Phi}, \bar{w}) - \frac{64\lambda}{\sigma_0} \rho \right] x \delta \bar{w}_1 dx d\theta +$$

$$+ \frac{64\omega^2 \lambda}{\alpha R \sigma_0} \int_0^{2\pi} \left[N_p \delta \bar{u}_1 + T_{p\theta} \delta \bar{v}_1 + (\dot{Q}_p + \frac{\omega \sigma_0}{\alpha E} N_p \frac{\partial \bar{w}}{\partial r} + \frac{\sigma_0}{\alpha E} T_{p\theta} \frac{\partial \bar{w}}{\partial \theta}) \delta \bar{w}_1 + \right. \\ \left. + \frac{\omega}{r_0} M_p \delta \left(\frac{\partial \bar{w}_1}{\partial x} \right) \right]_{x=\omega} d\theta = 0$$

$$\int_{\omega_0}^{\omega} \int_0^{2\pi} \left[\nabla^2 \nabla^2 \bar{\Phi} + 8\mathcal{L}(\bar{w}) - \frac{3B\lambda\sigma_0}{E} \mathcal{L}_1(\bar{w}, \bar{\Phi}) \right] x \delta \bar{\Phi}_1 dx d\theta = 0,$$

где

- $N_p, T_{p\theta}$ - нормальное и сдвигающее усилия;
- M_p - изгибающий момент;
- \dot{Q}_p - обобщенная перерезывающая сила в смысле Кирхгофа;
- ρ - нормальная поверхностная нагрузка;
- σ_0 - напряжение в оболочке вдали от выреза;

x_1 - значение координаты x , при котором полностью затухают дополнительные возмущения, обусловленные геометрической нелинейностью, $\lambda = \frac{R}{h}$, $\alpha = \frac{r_0}{R}$ - безразмерные параметры оболочки;

$$B = \frac{1}{3} \sqrt{3(1-\mu^2)};$$

$$\mathcal{L}(\bar{\Phi}) = \left(\frac{1}{x} \frac{\partial \bar{\Phi}}{\partial x} + \frac{1}{x^2} \frac{\partial^2 \bar{\Phi}}{\partial \theta^2} \right) \sin^2 \theta + \frac{\partial^2 \bar{\Phi}}{\partial x^2} \cos^2 \theta -$$

$$- \frac{\partial}{\partial x} \left(\frac{1}{x} \frac{\partial \bar{\Phi}}{\partial \theta} \right) \sin 2\theta;$$

$$\mathcal{L}_1(\bar{\Phi}, \bar{w}) = \frac{1}{x^2} \left(\frac{\partial^2 \bar{\Phi}}{\partial x^2} \frac{\partial^2 \bar{w}}{\partial \theta^2} - 2 \frac{\partial^2 \bar{\Phi}}{\partial x \partial \theta} \frac{\partial^2 \bar{w}}{\partial x \partial \theta} + \frac{\partial^2 \bar{\Phi}}{\partial \theta^2} \frac{\partial^2 \bar{w}}{\partial x^2} \right) + \frac{1}{x} \frac{\partial}{\partial x} \left(\frac{\partial \bar{\Phi}}{\partial x} \frac{\partial \bar{w}}{\partial x} \right) + \frac{2}{x^2} \frac{\partial}{\partial x} \left(\frac{1}{x} \frac{\partial \bar{\Phi}}{\partial \theta} \frac{\partial \bar{w}}{\partial \theta} \right).$$

На характер изменения функции $\bar{\Phi}_1(x, \theta)$ наложим ограничение, потребовав, чтобы она удовлетворяла граничным условиям $[\bar{N}_{\rho 1} = \bar{T}_{\rho \theta 1} = 0]_{x=\omega}$. Тогда в уравнениях (I) пропадут члены, содержащие вариации $\delta \bar{u}_1$ и $\delta \bar{v}_1$. Выражения для \bar{w}^0 и $\bar{\Phi}^0$ получаются из решения задачи в линейной постановке, т.е. они удовлетворяют уравнениям

$$\nabla^2 \nabla^2 \bar{w}^0 - 8\mathcal{L}(\bar{\Phi}^0) - \frac{64\lambda}{\sigma_0} \rho = 0, \quad \nabla^2 \nabla^2 \bar{\Phi}^0 - 8\mathcal{L}(\bar{w}^0) = 0 \quad (2)$$

и статическим граничным условиям на краю выреза. В итоге, вариационные уравнения (I) примут вид:

$$\int_{\omega}^{x_1} \int_0^{2\pi} \left[\nabla^2 \nabla^2 \bar{w}_1 - 8\mathcal{L}(\bar{\Phi}_1) + \frac{64\lambda \sigma_0}{E} \mathcal{L}_1(\bar{\Phi}, \bar{w}) \right] x \delta \bar{w}_1 dx d\theta - \omega \int_0^{2\pi} \left[\mathcal{L}_2(\bar{w}_1) \delta \bar{w}_1 + \mathcal{L}_3(\bar{w}_1) \delta \left(\frac{\partial \bar{w}_1}{\partial x} \right) \right]_{x=\omega} d\theta = 0,$$

$$\int_{\omega}^{x_1} \int_0^{2\pi} \left[\nabla^2 \nabla^2 \bar{\Phi}_1 + 8\mathcal{L}(\bar{w}_1) - \frac{32\lambda \sigma_0}{E} \mathcal{L}_1(\bar{w}, \bar{w}) \right] x \delta \bar{\Phi}_1 dx d\theta = 0,$$

где

$$\mathcal{L}_2 = \frac{\partial}{\partial x} \nabla^2 + (1-\mu) \frac{1}{x} \frac{\partial}{\partial x} \left(\frac{1}{x} \frac{\partial^2}{\partial \theta^2} \right),$$

$$\mathcal{L}_3 = \frac{\partial^2}{\partial x^2} + \mu \left(\frac{1}{x} \frac{\partial}{\partial x} + \frac{1}{x^2} \frac{\partial^2}{\partial \theta^2} \right). \quad (3)$$

Решение задачи для оболочки с круглым вырезом в линейной постановке получается в виде тригонометрических рядов относительно окружной координаты [5]. Функции $\bar{\Phi}_1$ и \bar{w}_1 представим в виде тригонометрических многочленов. Для напряженного состояния, симметричного относительно образующей и направляющей цилиндра, проходящих через центр выреза, имеем

$$\bar{\Phi}_1 = \sum_{\nu=0,2,4,\dots}^n \bar{\Phi}_{1\nu}(x) \cos \nu \theta, \quad \bar{w}_1 = \sum_{\nu=0,2,4,\dots}^n \bar{w}_{1\nu}(x) \cos \nu \theta. \quad (4)$$

Функциональные коэффициенты $\bar{\Phi}_{1\nu}(x)$ и $\bar{w}_{1\nu}(x)$ выберем таким образом, чтобы на краю отверстия имело место

$$\frac{\partial \bar{\Phi}_{1\nu}(\omega)}{\partial x} - \frac{\nu^2}{\omega} \bar{\Phi}_{1\nu}(\omega) = 0; \quad \frac{\partial \bar{w}_{1\nu}(\omega)}{\partial x} - \frac{1}{\omega} \bar{w}_{1\nu}(\omega) = 0 \quad (5)$$

и чтобы они приближались к нулю при значениях $x = x_1$.
Этим требованиям удовлетворяют функции

$$\bar{\Phi}_{jk}(x) = \sum_{k=1,2,3,\dots}^{\ell} A_{jk} \bar{\Phi}_{jk}(x), \quad \bar{w}_{jk}(x) = \sum_{k=1,2,3,\dots}^{\ell} B_{jk} w_{jk}(x)$$

$$\bar{\Phi}_{jk}(x) = \frac{(\varepsilon_{1k})^2}{4} (x-\omega) e^{-\varepsilon_{1k}(x-\omega)}, \quad \bar{w}_{jk}(x) = e^{-\varepsilon_{2k}(x-\omega)^2}, \quad (6)$$

где

A_{jk}, B_{jk} - варьируемые постоянные;
 $\varepsilon_{1k}, \varepsilon_{2k}$ - некоторые константы, определяющие характер изменения выбираемых функций.

Примерный вид функций $\bar{\Phi}_{jk}(x)$ (сплошные линии) и $\bar{w}_{jk}(x)$ (штриховые линии) приведен на рис. 1.

После подстановки в вариационные уравнения (3) линейного решения, а также выражений (4) и (6) относительно варьируемых постоянных A_{jk} и B_{jk} получается система нелинейных алгебраических уравнений. Применительно к нагружению оболочки сжимающими осевыми силами задача была запрограммирована и просчитана на ЭВМ БЭСМ-4.

В результате расчета получены выражения для суммарных нормальных перемещений в виде

$$\bar{w} = \sum_{j=0,2,4}^n \bar{w}_j(x) \cos j\theta. \quad (7)$$

Подобную же структуру имеют и выражения для суммарных напряжений в сечениях оболочки.

Расчеты проводились с удерживанием в рядах (4) различного числа членов и для нескольких наборов констант ε_{1k} и ε_{2k} . Точность до четвертой значащей цифры обеспечивалась при 3-4 членах ряда.

На рис. 2, соответствующем $\omega = 2$ и $\lambda = 300$, построены графики изменения коэффициентов \bar{w}_j для контура отверстия ($r = r_0$) в зависимости от величины внешней нагрузки. Штриховыми линиями на графике нанесены результаты расчета по линейной теории. С ростом нагрузки коэффициент нулевой гармоники \bar{w}_0 сначала по абсолютной величине уменьшается, меняет знак и затем интенсивно возрастает. Существенно возрастает по модулю и коэффициент второй гармоники \bar{w}_2 . При некотором значении

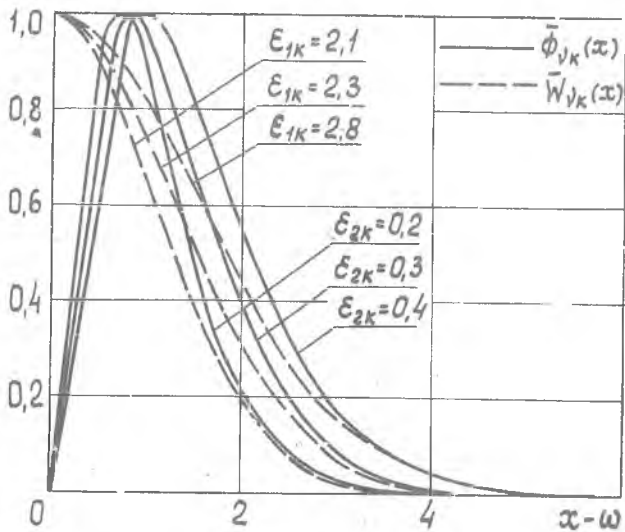


Рис. 1

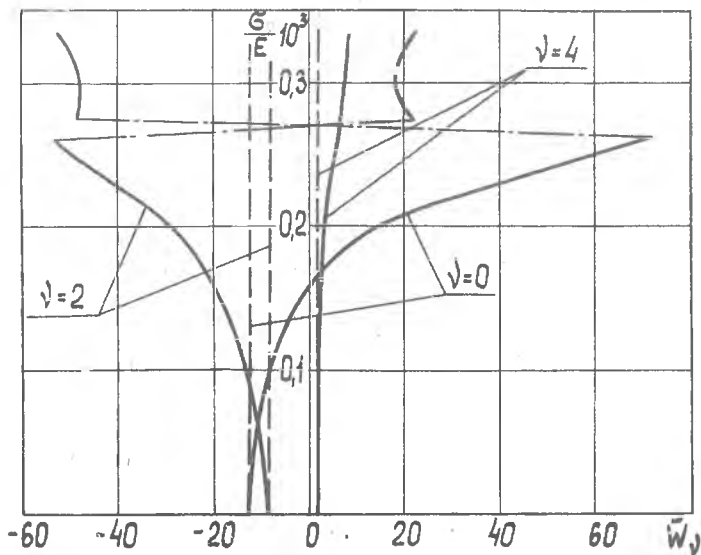


Рис. 2

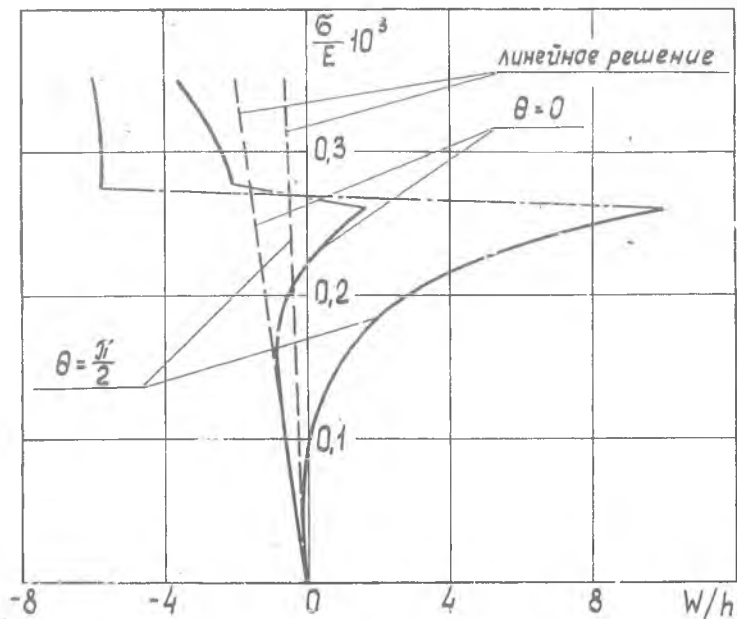
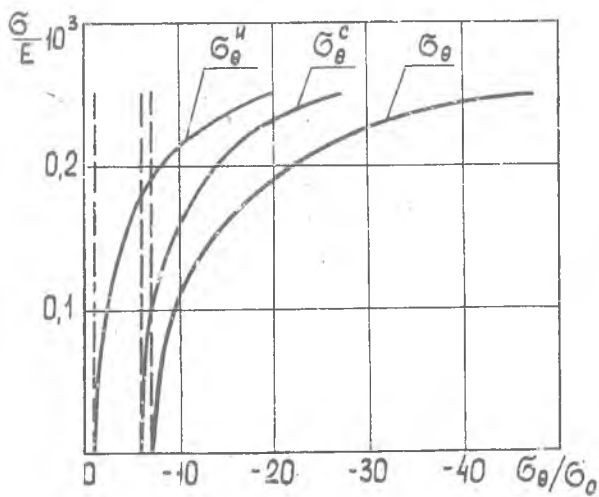


Рис. 3



внешней нагрузки, соответствующем потере устойчивости, оба эти коэффициента скачкообразно меняют знак. Оболочка переходит в закритическое состояние. Коэффициенты старших гармоник относительно невелики и монотонно возрастают. Для $\nu > 4$ они ввиду малости на графике не показаны.

На рис. 3 приведены графики изменения относительного прогиба $\frac{w}{h}$ с ростом нагрузки для $\theta = 0$ и $\theta = \frac{\pi}{2}$. Из графиков видно, что для просчитанных параметров к моменту потери устойчивости $\frac{w}{h} \approx 10$. Это говорит о невозможности решения задачи устойчивости оболочки с круглым вырезом в линейной постановке.

Теоретическое значение критической нагрузки ($\frac{\sigma_{кр}}{E} = 0,26 \cdot 10^{-3}$) сопоставлялось с экспериментальными данными работ [1, 2]. Расхождение незначительное и составляет $6 \pm 8\%$.

На рис. 4 приведены для $\theta = \frac{\pi}{2}$ графики напряжений в срединной поверхности σ_{θ}^c , а также изгибных σ_{θ}^u и суммарных σ_{θ} напряжений у внутренней поверхности края выреза. При небольших нагрузках напряжения близки к их значениям, полученным из решения задачи в линейной постановке (штриховые линии). Однако по мере роста внешней нагрузки геометрическая нелинейность начинает все более существенно сказываться на напряженном состоянии оболочки. Так при $\frac{\sigma_0}{E} = 0,1 \cdot 10^{-3}$ коэффициент концентрации напряжений возрастает по сравнению с расчетом в линейной постановке на 25%, при $\frac{\sigma_0}{E} = 0,15 \cdot 10^{-3}$ - на 75%, а при $\frac{\sigma_0}{E} = 0,2 \cdot 10^{-3}$ - в 3 раза.

Л и т е р а т у р а

1. Конопцев Ю.Г. Сб. "Исследования по теории пластин и оболочек", № 6, Казань, 1968.
2. Tennison R.C. *Trans ASME, ser. B, vol. 90* № 4, 1968.
3. Голде Ю.Л и др. "Прикладная механика", том IX, вып. I.
4. Зацепина М.В., Хазанов Х.С. Труды КуАИ, вып. 48, 1971.
5. Хазанов Х.С. Труды КуАИ, вып. 36, 1969.